

Assessment of Glycoconjugates Terminal Sugars expression during Rat Skin Morphogenesis

**Mohammadzadeh E., M.Sc., Ebrahimzadeh bideskan A.R., Ph.D.*,
Nikravesh M.R., Ph.D., Jalali M., Ph.D., Nikmard F., M.Sc., Fazel A.R., Ph.D.**

*P.O.Box: 91735588 , Anatomy Department, School of Medicine, Mashhad University of Medical Sciences, Mashhad, Iran

Abstract

Purpose: This study was conducted in order to determine distributions and changes of glycoconjugates terminal sugars during skin morphogenesis.

Materials and Methods: using lectin histochemistry technique, 10% formalin fixed, paraffin embedded rat embryonic sections for days 12, 14, 16 of gestation (N=30) were incubated with different HRP-lectins from Lotus tetragonolobus (LTA), Maclura pomifera(MPA) and Arachis hypogaea or Peanut (PNA) that are specific for terminal α -L Fuc, Gal(β 1 \rightarrow 3)GalNAC and D-Gal(β 1 \rightarrow 3)DGalNAC respectively. On the basis of colorimetery data that was determined by blind's method, sections were graded. SPSS statistic soft ware and Kruskal-Wallis non-parametric statistical test were used to compare different embryonic stages.

Results: Our results demonstrated that the reaction of ectodermal cells with LTA observed from gestational day12 (E12) was weak. This reaction increased E14 significantly ($p=0.0001$) and then decreased. Extracellular matrix (ECM) of mesenchyme did not react with LTA lectin. Ectodermal cells as well as ECM of mesenchyme reacted with PNA on E12 was fairly weak . It increased E14 ($p=0.009$). From E14 to E16 intensity staining remain the same in ectodermal cells but decreased in ECM mesenchyme ($p=0.0001$). Ectodermal cells and ECM of mesenchyme reacted with the MPA lectins from E12 to E16.

Conclusion: According to our result, it is suggested that the distributions and changes of glycoconjugates with terminal sugars L-Fuc (α 2-4) GlcNAC, Gal (β 1 \rightarrow 3) GalNAC and D-Gal (β 1 \rightarrow 3) DGalNAC be stage - regulated during rat skin morphogenesis.

Key words: Skin, Development, Glycoconjugates, Lectin, Rat

ارزیابی نحوه بیان قندهای انتهایی گلیکوکانژوگیت‌ها طی مورفوژن پوست رت

الهام محمدزاده^{*}, علیرضا ابراهیمزاده^{*}, محمد رضا نیکروش^{*}, مهدی جلالی^{D.Ph.D.}, فاطمه نیک مرد^{M.Sc.}, علیرضا فاضل^{*Ph.D.}

* گروه علوم تشریحی و بیولوژی سلوی دانشگاه علوم پزشکی مشهد، ایران

تاریخ دریافت: مهرماه ۸۹ تاریخ پذیرش: آذرماه ۸۹

چکیده

هدف: تعیین توزیع و تغییرات قندهای انتهایی گلیکوکانژوگیت‌ها طی دوران مورفوژن پوست رت

مواد و روش‌ها: در این پژوهش به منظور استفاده از روش لکتین هیستوشیمی، مقاطع مربوط به جنین‌های رت در روزهای ۱۴، ۱۲ و ۱۶ بازداری در فرمالین ۰۱ درصد تثبیت و پس از آماده سازی بافی، در پارافین قالب‌گیری شدند. به منظور مطالعه تغییرات تکاملی پوست و ردیابی گلیکوکانژوگیت‌های موثر در آن، از لکتین‌های *Arachis hypogaea* (MPA), *Lotus tetragonolobus* (LTA) و *Maclura pomifera* (MPA) که به ترتیب برای قندهای انتهایی α -L Fuc, Gal-(β 1→3) GalNAc و α -D-Gal-(β 1→3) peanut(PNA) اختصاصی or افراش SPSS تجزیه و تحلیل آماری شد. یافته‌های حاصل با استفاده از آزمون آماری غیرپارامتری کروسکال والیس و نرم افزار SPSS تجزیه و تحلیل آماری شد.

یافته‌ها: نتایج بررسی حاضرنشان داد که واکنش سلول‌های اکتودرمی با LTA در دوازدهم جنینی (E_{12}) به درجه افتادن افزایش یافت ($p \leq 0.05$) و سپس در E_{16} کاهش یافت ولی ماتریکس خارج سلولی مزانشیم در سه مرحله جنینی مورد بررسی واکنشی نسبت به LTA نشان نداد. سلول‌های اکتودرمی و همچنین ماتریکس خارج سلولی با PNA در E_{12} واکنش ضعیفی را بروز داد بهطوری‌که در افزایش معنی‌داری نشان داد ($p \leq 0.05$). این واکنش از E_{14} تا E_{16} در سلول‌های اکتودرمی تغییری نکرد؛ در صورتی‌که واکنش مذکور در ماتریکس خارج سلولی به‌طور معنی‌داری کاهش یافت ($p < 0.05$). سلول‌های اکتودرمی و ماتریکس خارج سلولی مزانشیم با MPA از E_{12} تا E_{16} به‌طور یکنواخت واکنش نشان دادند؛ به‌طوری‌که شدت رنگ در روزهای مختلف اختلاف معنی‌داری را نشان نداد.

نتیجه‌گیری: بر اساس شواهد حاصل از این تغییرات می‌توان اظهار نمود که توزیع و تغییرات قندهای انتهایی گلیکوکانژوگیت‌های روند تکامل و تمایزات سلولی لایه‌های مختلف پوست به آن وابسته است.

کلید واژه‌ها: مورفوژن پوست، تکامل، گلیکوکانژوگیت، لکتین، رت

مقدمه

ساختار هیستولوژیکی از سه لایه اکتودرم، درم و هیپودرم تشکیل شده است [۱-۳]. این ارگان دارای دو منشأ جنینی

پوست به عنوان بزرگترین ارگان بدن، اولین سد دفاعی و رابط منحصر به فرد انسان با محیط اطراف اوست و از نظر

آدرس مکاتبه: مشهد، میدان آزادی، مقابل پارک ملت، پردیس دانشگاه، دانشکده پزشکی، گروه علوم تشریحی و بیولوژی سلوی
Email: Ebrahimzadehba@mums.ac.ir

در شناسایی بین سلول‌ها که فرایندهای تمايزی، تکامل، پاسخ‌های ایمنی و دیگر اعمال بافت‌ها را تنظیم می‌کند، نقش مهمی بازی می‌کند [۸] و همچنین گلیکوکانژوگیت‌های سطح سلول و ماتریکس خارج سلولی دارای نقش کلیدی در اتصالات سلول به سلول و سلول با ماتریکس، مهاجرت، تکثیر، مورفوژنز و میان کنش‌های سلولی است [۷، ۹ و ۱۰].

بنابراین با توجه به اینکه گلیکوکانژوگیت‌ها از مهمترین ترکیبات سطح سلول‌ها و ماتریکس خارج سلولی است و بر نقش این ترکیبات در پدیده‌های بیولوژیکی، تکاملی و تمايزات بافت‌ها و ارگان‌های مختلف توسط بسیاری از پژوهشگران اتفاق نظر وحود دارد و با توجه به اهمیت پوست سالم در حفظ سلامتی و عملکرد پوست به عنوان اولین سد دفاعی بدن، در پژوهش حاضر سعی شد تا ظهور و تغییرات این ترکیبات طی تکامل پوست رت با استفاده از روش لکتین هیستوشیمیایی بررسی شود.

مواد و روش‌ها

برای انجام این تحقیق ۴۰ سر رت نژاد ویستار (۳۰۰ رت ماده و ۱۰ رت نر) با وزن تقریبی ۲۵۰-۳۰۰ گرم از خانه حیوانات دانشکده پزشکی مشهد تهیه و با رعایت دستوالعمل DHEW (The National Institutes of Health) NIH (Department of Health Education and Well fare) برای مراقبت از حیوانات و تحت شرایط استاندارد در دمای ۲۲±۲ درجه سانتی‌گراد، رطوبت ۵۰±۵ درصد، سیکل نوری ۱۲ ساعت روشنایی و ۱۲ ساعت تاریکی و دسترسی آزاد به غذا و آب نگهداری و پس از آداتاسیون به نسبت ۳ به ۱ در قفس‌های مخصوص جفت‌گیری قرار گرفتند و با استفاده از اسمیر واژینال و مشاهده اسپرم، روز صفر بارداری تعیین شد. سپس به منظور بهدست آوردن جنین‌های ۱۲، ۱۴ و ۱۶ روزه رت‌های باردار در روزهای دوازدهم (E₁₂)، چهاردهم (E₁₄) و

متفاوت است به‌طوری‌که لایه سطحی آن یعنی اپیدرم، از اکتوورم سطحی تکامل می‌یابد و لایه‌های درم و هیپوورم از مزانشیم مزوورمی مشتق می‌شود که خود دارای سه قسمت است که عبارتند از: ۱- مزوورم صفحه جانبی که سلول‌های درم را در اندام‌ها و دیواره بدن تولید می‌کند؛ ۲- مزوورم پاراکزیال که در ناحیه پشت به وجود می‌آورد؛ ۳- سلول‌های نورال کرست که منشاء درم در سر و گردن هستند. به علاوه ضمایم پوست مانند غدد عرق، چربی و فولیکول مو در اثر اینواژنه شدن اکتوورم به داخل درم تشکیل و تکامل می‌یابند [۳].

ارگانوژنز ارگان‌های مختلف بدن از جمله پوست، حاصل مورفوژنز و تمايزاتی است که خود متأثر از میان‌کنش‌ها و آثار القایی بین انواع مختلف سلول‌ها و بافت‌ها بوده و توسط مولکول‌های شیمیایی متعددی میانجیگری می‌شود. شناخت مولکول‌هایی که فرایندهای تکاملی را هدایت می‌کند نقطه عطفی در درک بسیاری از فرآیندهای بیولوژیکی از جمله تمايزات سلولی و تکامل است [۴].

طی تکامل پوست و تشکیل لایه‌ها و ضمایم آن، میان‌کنش‌های متقابلی (Interactions) بین لایه‌های جنینی رخ می‌دهد که مولکول‌های بسیاری در این فرآیند دخالت دارند. از جمله این مولکول‌ها می‌توان به مولکول SHH که در فرآیندهای مورفوژنیک مانند تکثیر سلولی، تراکم مزانشیمی نقش دارد اشاره کرد. این مولکول همچنین در مورفوژنز مو نقش مهمی را ایفا می‌کند [۵]. همچنین مولکول FGF-22 در E_{17.5} در موش به عنوان یک لیگاند برای FGFR2 III b عمل می‌کند که در مورفوژنز فولیکول مو که در همین زمان شروع می‌شود، نقش دارد [۶].

علاوه بر این، مولکول‌های پروتئینی و گلیکوکانژوگیت‌ها از جمله مولکول‌هایی است که در میان‌کنش‌های سلولی و همچنین میان‌کنش‌های لایه‌های جنینی دخالت دارد [۷]. بخش کربوهیدراتی گلیکوپروتئین‌ها، گلیکولیپیدها و پروتئوگلیکان‌ها

[۱۲]. همچنین در این آزمایش یک لام کامپوزیت نیز به عنوان شاهد با هر یک از لکتین‌ها طبق روش بالا رنگ‌آمیزی شد. در محل اتصال هر لکتین به قندهای انتهایی اختصاصی خود، رنگ قهوه‌ای ایجاد شد که در واقع نتیجه واکنش آنزیم HRP متصل به لکتین با سوبیسترای خود (DAB) است. لام‌های Bx51 تهیه شده توسط میکروسکوپ ۵ نفره Olympus مدل Bx51 بررسی شد و نمونه‌ها بر اساس شدت واکنش لکتین‌ها بر اساس طیف لیکرت، (عدم واکنش –، واکنش ضعیف +، واکنش متوسط ++، واکنش شدید ++++) توسط سه نفر به صورت کور (Blind) درجه بندی شد [۱۳] و میانگین شدت واکنش‌ها در روزهای مختلف جنینی با استفاده از نرم افزار SPSS و آزمون‌های آماری ANOVA و توکی با هم مقایسه شد و اختلاف در سطح $p < 0.05$ معنی‌دار تلقی شد. سپس از نمونه‌های مورد نظر با استفاده از میکروسکوپ Olympus مدل Bx51 عکس‌برداری شد.

جدول ۱. انواع لکتین‌های مورد استفاده و خصوصیات آن‌ها

Lectin	Abbreviation	Carbohydrate binding specificity
Maclura pomifera agglutinin	MPA	Gal-($\beta 1 \rightarrow 3$)-GalNAC
Arachis hypogaea agglutinin	PNA	D-Gal-($\beta 1 \rightarrow 3$)-D-Gal NAC
Lotus tetragonolobus	LTA	L- Fuc- α

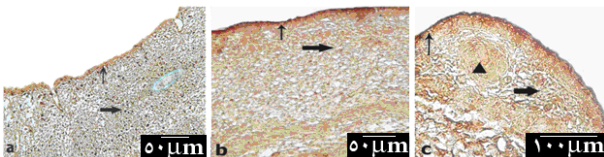
یافته‌ها

بررسی مقاطع میکروسکوپی مربوط به ناحیه پوست در حال تکامل جنین‌های دوازده روزه (E₁₂) که با لکتین MPA مجاور شده بودند، نشان داد که سلول‌های اکتودرمی و ماتریکس خارج سلولی در مزانشیم مزودرمی با MPA واکنش می‌دهد، به طوری که شدت واکنش در سلول‌های اکتودرمی بیشتر از ماتریکس خارج سلولی مزانشیم بود (شکل ۱-a). همچنین ارزیابی مقاطع مربوط به جنین‌های چهارده روزه

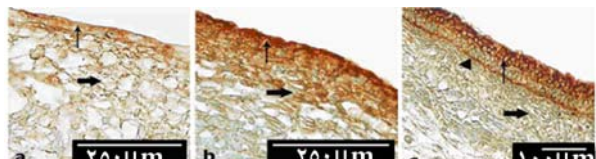
شانزدهم (E₁₆) بارداری نوش‌ها با کلروفرم بیهوده و سپس با سرعت و دقت تشریح شدند. جنین‌ها پس از خارج شدن از رحم در پتی دیش محتوی سرم فیزیولوژی قرار داده شدند. پس از جدا کردن پرده‌های جنینی، جنین‌ها با استفاده از محلول فرمالین ۱۰ درصد به مدت ۲۴ ساعت تثیت شدند. پس از اتمام تثیت، نمونه‌ها به روش‌های معمول بافتی توسط درجات سعودی الكل اتیلیک (۱۰۰-۹۰-۸۰-۷۰-۵۰) آبگیری و با استفاده از گزیلن شفاف‌سازی شد. سپس از نمونه‌ها بلوک‌های پارافینی تهیه شد. با استفاده از دستگاه میکروتوم آلمانی Leitz مدل ۱۵۱۲، برش‌هایی به ضخامت ۵ میکرونی تهیه شد [۱۱]. به منظور رنگ‌آمیزی به روش لکتین هیستوشیمی از هر مرحله جنینی تعداد ۱۵ لام انتخاب و به روش معمول آزمایشگاه بافت‌شناسی پارافین‌زدایی و سپس آبدهی شد. این تعداد لام به سه دسته ۵ تابی برای رنگ‌آمیزی با سه لکتین MPA, PNA, LTA مطابق جدول ۱ تقسیم شد. این لکتین‌ها از شرکت سیگما با شماره کاتالوگ MPA(L:7759),SBA(L:2650) و PNA(M:3267) خریداری و با آنزیم HRP (Horseradish peroxidase) نشاندار شد. هر یک از لکتین‌های مذکور با استفاده از محلول بافر فسفات سالین (PBS) برای رسیدن به غلاظت ۱۵ میکروگرم در میلی لیتر، Endogenous peroxidases رقیق شد. به منظور خنثی کردن Lام‌ها به مدت ۴۵ دقیقه در آب اکسیژنه ۱ درصد محلول PBS در شرایط تاریکی قرار داده شد. در مرحله بعد برش‌ها به مدت دو ساعت در اتافک مرطوب در معرض لکتین‌ها قرار گرفت. سپس نمونه‌ها با محلول بافر فسفات سالین شستشو داده شد و به مدت ۱۰ دقیقه در محلول سوبیسترای ۰/۰۳ درصد Diaminobenzidine (DAB) در بافر فسفات که مقدار ۲۰ میکرولیتر آب اکسیژنه به ازای هر ۱۰۰ میلی لیتر از محلول فوق به آن اضافه شد، قرار داده شد. سپس کلیه نمونه‌ها بعد از شستشو با آب جاری و آب مقطمر برای ایجاد رنگ زمینه به مدت ۱۰ دقیقه در محلول آلسین بلو با pH:2.5 قرار گرفت

پوست در روز شانزدهم جنینی (E_{16}) شدت واکنش در سلول‌های اکتودرمی به طور قابل توجهی کاهش یافت ($p=0.0001$).

همچنین ماتریکس خارج سلولی در مزانشیم مزودرمی در حال تمایز، در روزهای مورد بررسی با لکتین LTA واکنشی نشان نداد و رنگ قهوه‌ای که نشان دهنده واکنش اختصاصی لکتین مذکور با قند انتهایی $\alpha\text{-L}\text{Fuc}$ است، در این مراحل از تکامل در ماتریکس خارج سلولی مشاهده نشد.



شکل ۱. فنومیکروگراف‌های مربوط به پوست در حال تکامل رت که در مجاورت با لکتین MPA قرار گرفته است. (a) روز دوازدهم جنینی (بار: ۵۰ میکرومتر). (b). روز چهاردهم جنینی (بار: ۵۰ میکرومتر). (c) روز شانزدهم جنینی (بار: ۱۰۰ میکرومتر). پیکان‌های باریک نشان دهنده سلول‌های اکتودرمی است. پیکان‌های پهن به ماتریکس خارج سلولی مزانشیمی اشاره دارد، همچنین سر پیکان در تصویر c نشان دهنده یک تراکم مزانشیمی است که در مراحل بعدی تکامل به فولیکول مو، غدد عرق یا چربی تکامل می‌یابد.



شکل ۲. فنومیکروگراف‌های مربوط به پوست در حال تکامل رت که در مجاورت لکتین PNA قرار گرفته است. (a) روز دوازدهم جنینی (بار: ۲۵۰ میکرومتر). (b). روز چهاردهم جنینی (بار: ۲۵۰ میکرومتر)، (c) روز شانزدهم جنینی (بار: ۱۰۰ میکرومتر). پیکان‌های باریک سلول‌های اکتودرمی و پیکان‌های پهن، ماتریکس خارج سلولی ناحیه مزانشیم در حال تمایز به درم را نشان می‌دهد و خط پرنگی که درست در زیر اکتودرم قرار دارد و با سر پیکان نشان داده شده است نشان دهنده غشای پایه است که جداگانه ناحیه اپیدرم در حال تکامل از سلول‌های مزانشیمی درم است و رنگ قهوه‌ای در این ناحیه نشان دهنده وجود قند انتهایی $\text{D-Gal-(3\rightarrow1)-NAC}$ است.

(E_{14}) و شانزده روزه (E_{16}) که با لکتین MPA رنگ‌آمیزی شده بود، مشابه مقاطع روز دوازدهم جنینی (E_{12}) بود (شکل‌های b-۱ و ۱-۲). شدت واکنش در این سه مرحله تکامل جنینی اختلاف معنی‌داری را نشان نداد ($p=0.735$).

در ادامه، بررسی نتایج حاصل از این تحقیق نشان داد که در مقاطع مربوط به جنین‌های دوازده روزه (E_{12}) که با لکتین PNA رنگ‌آمیزی شده بود، سلول‌های اکتودرمی که در این مرحله از تکامل به صورت یک لایه قابل مشاهده است و در راستای تشکیل اپیدرم تمایز خواهد یافت، با لکتین PNA واکنش نشان می‌دهد به طوری که شدت واکنش در سلول‌های مذکور در روز چهاردهم جنینی (E_{14}) افزایش قابل توجهی را نشان داد که از نظر آماری معنی‌دار بود ($P=0.009$). میزان واکنش سلول‌های اکتودرمی از روز چهاردهم (E_{14}) تا روز شانزدهم جنینی (E_{16}) که اپیدرم به صورت چند لایه مشاهده می‌شود، یکسان بود و تغییر قابل ملاحظه‌ای مشاهده نشد (شکل ۲-a).

ماتریکس خارج سلولی مزانشیم مزودرمی پوست در حال تکامل با لکتین PNA در روز دوازدهم (E_{12}) واکنش اندکی را نشان داد. درحالی که شدت واکنش در این ناحیه در روز چهاردهم (E_{14}) افزایش یافت ($p=0.0001$) و سپس در روز شانزدهم (E_{16}) این ناحیه واکنش به نسبت ضعیفی را در مقایسه با روز چهاردهم جنینی (E_{14}) با لکتین PNA نشان داد ($p=0.0001$).

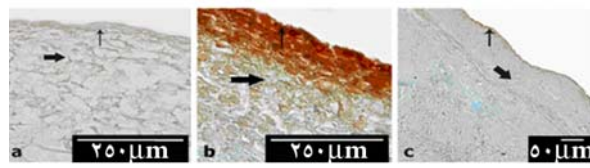
در ادامه بررسی روند تکامل پوست مقاطع جنینی‌های دوازده روزه (E_{12}) که با LTA رنگ‌آمیزی شده بود، واکنش اندکی در سلول‌های اکتودرمی در حال تمایز مشاهده شد در حالی که سلول‌های مذکور در روز چهاردهم جنینی (E_{14}) شدت واکنش، افزایش قابل ملاحظه‌ای را نشان داد به طوری که در مقایسه با روز دوازدهم (E_{12})، سلول‌های اکتودرمی در این مرحله رنگ قهوه‌ای قابل توجهی را به خود گرفتند ($p=0.001$). با این وجود در ادامه روند تکامل

سلولی، شناخت سلول-سلول و میانکنش‌های سلولی طی تکامل جنینی داری اهمیت فراوان است [۱۴]؛ به عبارت دیگر بخش کربوهیدراتی این مولکول‌ها، از جمله تنظیم کننده‌های اصلی اعمال سلولی است که در میان کنش‌های سلول-سلول و سلول-ماتریکس شرکت می‌کند و نقش بیولوژیکی بسیار موثری در تکثیر، تمایز و مهاجرت فیبروبلاست‌ها از طریق تعدیل فنتوتیپ سلولی بازی می‌کند [۱۵].

نتایج تحقیقات نشان می‌دهد که در رت در روز هفدهم بارداری اپیدرم، درم و بافت‌های زیر پوستی به صورت نابالغ دیده می‌شود. پس از آن بافت‌های مذکور شروع به ضخیم شدن نموده به‌طوریکه در روز نوزدهم بارداری غشای پایه قابل مشاهده می‌شود. لایه‌های شاخی و گرانولوزا در روز بیست و یکم در پوست جنین رت مشاهده شده و همچنین فاصله بین سطح پوست و سیستم خونی با تکامل جنین افزایش پیدا می‌کند [۱۶]. در واقع مراحل نهایی تکامل اپیدرم در پوست جوندگان بین روزهای ۲۰ تا ۲۲ بارداری رخ می‌دهد [۱۷] و لایه شاخی اپیدرم ۲ تا ۳ روز قبل از تولد و همزمان با ناپدید شدن پریدرم تکامل می‌یابد [۱۷].

با توجه به این مطالعات و نتایج پژوهش حاضر که با بررسی ظهور و تغییرات بخش قندی گلیکوکانژوگیت‌های سطح سلول و ماتریکس خارج سلولی طی تکامل و مورفوژنز پوست رت در روزهای دوازدهم، چهاردهم و شانزدهم جنینی به‌دست آمده است، مکانیسم‌های احتمالی و مقایسه نتایج با نتایج حاصل از سایر مطالعاتی که در این زمینه انجام شده است تبیین می‌شود. نتایج مطالعات دانشمندان نشان می‌دهد که تغییرات گلیکوکانژوگیت‌های سطح سلول‌ها و ماتریکس خارج سلولی طی دوره رویانی انسان، موش، رت و جوجه از نظر تکاملی تنظیم شده است [۱۴].

در این مطالعه لکتین MPA که برای قند انتهایی Gal-(β1→3)GalNAc اختصاصی است با سلول‌های اکتسودرمی



شکل ۳. فتومیکروگراف‌های مربوط به پوست در حال تکامل رت که در مجاورت لکتین LTA قرار گرفته است. (a). روز دوازدهم جنینی، پیکان باریک نشان دهنده واکنش انکس سلول‌های اکتسودرمی با LTA است و پیکان پهن نشان دهنده ماتریکس خارج سلولی مزانشیمی است (بار: ۲۵۰ میکرومتر). (b). روز چهاردهم جنینی، پیکان باریک سلول‌های اکتسودرمی را نشان می‌دهد که با LTA واکنش قابل ملاحظه‌ای نشان داده‌اند و پیکان پهن، ماتریکس خارج سلولی مزانشیمی که با لکتین LTA واکنش نشان نداده است را مشخص می‌کند. (بار: ۲۵۰ میکرومتر). (c). روز شانزدهم جنینی، پیکان باریک کاهش واکنش اکتسودرم را نشان می‌دهد و پیکان پهن ماتریکس خارج سلولی مزانشیم را نشان می‌دهد که با LTA واکنش نداده است (بار: ۵۰ میکرومتر).

جدول ۲. میانگین شدت واکنش انواع لکتین‌ها با بافت‌های در حال تکامل پوست رت در روزهای مختلف جنینی

P-valve	مرحله جنینی			انواع لکتین
	E ₁₆	E ₁₄	E ₁₂	
۰/۷۳۵	++	++	++	MPA
۰/۰۰۹	++	++	*	PNA
۰/۰۰۱	+	**	+	LTA
۰/۳۰۴۰	++	++	++	MPA
۰/۰۰۰۱	+	**	+	PNA
.	-	-	-	LTA

بحث

در این مطالعه که با استفاده از روش لکتین هیستوشیمیایی صورت گرفت، ظهور، تغییرات و همچنین ناپدید شدن احتمالی قندهای انتهایی گلیکوکانژوگیت‌ها، طی تکامل پوست رت در روزهای دوازدهم (E₁₄)، چهاردهم (E₁₂) و شانزدهم (E₁₆) بارداری بررسی شد.

نتایج تحقیقات نشان می‌دهد که ماکرومولکول‌های سطح سلول‌ها و ماتریکس خارج سلولی به‌ویژه ترکیبات قندی گلیکوکانژوگیت‌ها در فرایندهای تکوینی از قبیل تمایزات

قابل ملاحظه‌ای در آن مشاهده نشد. سلول‌های اکتسودرمی که در روز دوازدهم جنینی (E₁₂) به صورت تک لایه‌ای است در روز شانزدهم جنینی (E₁₆) به صورت اپیدرمی چند لایه فاصل مشاهده بوده که نشان‌دهنده سیر تکامل اپیدرم در این مراحل است.

افزایش شدت واکنش سلول‌های اپیدرمی در روز چهاردهم (E₁₄) نتیجه‌ای است که مشابه آن در مطالعاتی که روی جنین جوجه انجام شده نیز گزارش شده است [۱۹]. در این راستا در روز شانزدهم (E₁₆) تغییر قابل ملاحظه‌ای نسبت به روز چهاردهم (E₁₄) ملاحظه نشد.

اپیدرم به صورت تک لایه‌ای مشاهده شد و همان‌طور که نتایج نشان داد در این مرحله از تکامل جنینی قند-D-Gal NAC به میزان اندکی در این سلول‌ها قابل مشاهده بود و سپس همزمان با افزایش این قدر در روز چهاردهم (E₁₄) و شانزدهم (E₁₆) جنینی اپیدرم به سمت مطابق (چند لایه‌ای شدن) تکامل یافت و علاوه بر این می‌توان گفت که قند انتهایی شانزدهم در تکامل غشای پایه نیز نقش دارد به طوری که با افزایش میزان این قند در این ناحیه در روز شانزدهم جنینی محل غشای پایه به وضوح قابل تشخیص است. اگرچه در روز شانزدهم مطابق منابع موجود با رنگ آمیزی‌های معمولی در روز نوزدهم به‌طور کامل تشکیل شده و مشاهده می‌شود [۱۶] با توجه به نتایج حاصل مبنی بر واکنش واضح محل تشکیل غشای پایه با لکتین PNA در روز شانزدهم می‌توان نتیجه گرفت که قند انتهایی D-Gal-(β1→3)-D-GalNAC در ترکیب گلیکوکانزروگیت‌های تشکیل دهنده غشای پایه بیان شده و در شکل گیری غشای پایه نقش دارد. بنابراین می‌توان گفت که گلیکوکانزروگیت‌های واکنش پذیر با PNA طی تمایز سلول‌های اپیدرمی در این ناحیه وجود دارد و احتمالاً در نگهداری ساختارهای تنظیم شده (regulated) اپیدرم موثر است. همچنین نتایج تحقیقات در مورد تکامل پوست در جنین جوجه نشان می‌دهد که گلیکوکانزروگیت‌های محتوی این قند روی سطح

در روز دوازدهم جنینی (E₁₂) واکنش نشان داد به‌طوری که شدت واکنش در روز چهاردهم (E₁₄) و شانزدهم (E₁₆) جنینی تغییر قابل ملاحظه‌ای در مقایسه با روز دوازدهم (E₁₂) نشان نداد. همچنین لکتین MPA با ماتریکس خارج سلولی مزانشیم در سه مرحله مورد مطالعه، واکنش شدید و در عین حال یکسانی را نشان داد به‌طوری که اختلاف شدت واکنش در سه مرحله تکاملی مورد مطالعه معنی‌دار نبود. بنابراین می‌توان گفت که قند انتهایی GalNAc-β1→3 در هر سه مرحله تکاملی جنینی مورد بررسی در سلول‌های اکتسودرمی و ماتریکس خارج سلولی بیان شده است و میزان آن در مراحل تکاملی مورد مطالعه تغییر چندانی نکرده است و همچنین می‌توان اذعان نمود که قند انتهایی مذکور به عنوان یکی از عوامل مؤثر در فرایند مورفوژنز دارای اهمیت است. لکتین‌ها برای مونوساکاریدهای موجود در زنجیره‌های قندی گلیکوکانزروگیت‌ها اختصاصی هستند و در عین حال با قند انتهایی بر اساس نوع زنجیره‌های اولیگوساکاریدی مختلف که به قند انتهایی ختم می‌شود با میل ترکیبی متفاوت واکنش نشان می‌دهد که این میل ترکیبی متفاوت می‌تواند به دلیل نوع اتصال، نوع قند ما قبل آخر و ایزومرهای فضایی زنجیره‌های قندی باشد همچنین تفاوت‌های قابل اندازه‌گیری در الگوی واکنش پذیری بین لکتین‌های مختلف که مونوساکارید انتهایی یکسانی را شناسایی می‌کند، وجود دارد که این می‌تواند به نوع آرایش مولکولی خاص قند انتهایی و همچنین زنجیره قندی متصل به آن مربوط باشد [۱۸].

با توجه به نتایج به‌دست آمده از پژوهش حاضر در خصوص لکتین PNA که برای قند انتهایی D-Gal-(β1→3)-D-GalNac اختصاصی است، سلول‌های اکتسودرمی که در راستای تشکیل اپیدرم در حال تمایزند در روز دوازدهم (E₁₂) با لکتین مذکور واکنش نشان داد به‌طوری که شدت واکنش در روز چهاردهم جنینی (E₁₄) افزایش قابل توجهی را نشان داد. میزان واکنش سلول‌های اکتسودرمی از E₁₄ تا E₁₆ یکسان بود و تغییر

نتیجه گرفت که این قند یکی از مولکول‌های دخیل در فرآیند مورفوژنر اپیدرم است ولی در تکامل ماتریکس خارج سلولی مزانشیم در سه مرحله مورد مطالعه بیان نشده که این خود می‌تواند دلیلی بر عدم تأثیر این قند طی تکامل درم باشد. با این وجود ممکن است در مراحل قبلی یا بعدی نقش مؤثری داشته باشد که نیاز به بررسی‌های بیشتری دارد. همچنین نتایج بررسی‌هایی که با استفاده از لکتین LTA طی تکامل جنین یک دوزیست (Rana dalmatina) صورت گرفته است، نشان می‌دهد که سلول‌های اکتودرمی و ماتریکس خارج سلولی طی گاسترولاسیون با LTA واکنش نشان داده‌اند که بیانگر نقش قند انتهایی α -L Fuc در این مرحله از تکامل پوست در این دوزیست است [۲۱].

بنابراین با توجه به نتایج به دست آمده در این مطالعه و بررسی‌های مشابه می‌توان نتیجه گرفت که قندهای انتهایی α -L Gal-(β 1→3)-D-Gal NAc و D-Gal-(β 1→3)-GalNAc گلیکوکانژوگیت‌ها طی تکامل سلول‌های اکتودرمی و تبدیل آن‌ها به اپیدرم از نظر زمانی و مکانی تنظیم شده است و احتمالاً در تکامل طبیعی پوست اهمیت دارد به‌طوری‌که وجود آن‌ها طی این سه مرحله تکامل جنینی مورد مطالعه، طی مورفوژنر طبیعی پوست ضروری به نظر می‌رسد. همچنین با توجه به الگوی بیان و تغییرات قندهای انتهایی Gal- α -L Fuc در ماتریکس خارج سلولی مزانشیم مزودرمی می‌توان نتیجه گرفت که این قندها در مورفوژنر درم دارای اهمیت بوده و احتمالاً در میان کنش‌های اکتودرمی - مزانشیمی دخالت دارد.

تقدیر و تشکر

پژوهش حاضر حاصل بخشی از نتایج طرح مصوب ۸۸/۳۰۲۶۵۵ (۱۳۸۸/۱۰/۲۶) معاونت پژوهشی دانشگاه علوم پزشکی مشهد است که بدینوسیله از آن معاونت محترم و همچنین خدمات تکنیکی سرکار خانم متعدد در آزمایشگاه

سلول، جایی که سلول‌های اپیدرمی از ناحیه قاعده‌ای به سمت اپیدرم سطحی مهاجرت می‌کند، تجمع می‌یابد [۱۴]. همچنین در این مطالعه مشخص شد که سلول‌های لایه شاخی با PNA رنگ نشده‌اند که این حالت ممکن است به علت وجود یک پوشش (ماسک) روی قند انتهایی باشد یا برداشت گلیکوکانژوگیت‌های واکنش پذیر با PNA که طی کراتینیزه شدن رخ می‌دهد. از طرف دیگر ممکن است که لکتین‌های کوژنروگه شده با avidin-HRP که در مطالعات روی جنین جوجه انجام شده است به فضای بین سلولی سلول‌های کراتینیزه دسته‌بندی شده نفوذ نکرده باشد. بنابراین با توجه به نتایج به دست آمده، قند انتهایی که با لکتین PNA که با HRP نشان دار شده، واکنش نشان داده است می‌تواند نشانگر خوبی برای سلول‌های اپیدرمی در حال تمایز باشد [۲۰].

الگوی خاص واکنش ماتریکس خارج سلولی مزانشیم با لکتین مذکور به‌طوری که در روز دوازدهم (E_{12}) ضعیف، سپس در روز چهاردهم (E_{14}) افزایشی در حد متوسط و در روز شانزدهم (E_{16}) در مقایسه با روز چهاردهم (E_{14}) از شدت واکنش کاسته شده بود، نشان دهنده بیان قند انتهایی D-Gal NAC (β 1→3)-D-Gal در مزانشیم در حال تکامل است و با توجه به الگوی زمانی ظهر و میزان این قند که از نظر مراحل تکاملی تنظیم شده است، می‌توان به نقش آن در تکامل و تشکیل لایه‌های مختلف پوست اذعان نمود.

در ادامه بررسی‌ها، لکتین LTA با سلول‌های اکتودرمی در جنین‌های دوازده روزه (E_{12}) واکنش اندکی را نشان داد که بیانگر میزان کم قند انتهایی α -L Fuc در این ناحیه است و میزان این قند در روز چهاردهم جنینی (E_{14}) به طور قابل ملاحظه‌ای افزایش یافت و در روز شانزدهم (E_{16}) بسیار کاهش پیدا کرد که این الگوی واکنش لکتین LTA می‌تواند تاییدی بر نقش این قند انتهایی طی تشکیل اپیدرم باشد به‌طوریکه توزیع آن در سلول‌های اکتودرمی دارای نوسان بوده و از نظر تکاملی میزان بیان آن تنظیم شده است. پس می‌توان

سلولی دانشکده پزشکی مشهد قدردانی می شود.

تخصصی بافت شناسی گروه علوم تشریحی و بیولوژی

References

1. Auerbach: *Wilderness Medicine*. 5th ed. Mosby Elsevier Philadelphia 2007, pp 30-5.
2. Kumar V, Abbas AK, Fausto N, Aster JC. Kumar: Robbins and Cotran Pathologic Basis of Disease, Professional Edition. 8th ed. Saunders Elsevier Philadelphia 2009; pp 225-40.
3. Thomas S. Langman's medical embryology. 10th ed. Madison country Montana 2007; 333-335 .
4. Mikkola ML. TNF superfamily in skin appendage development. *Cytokine Growth Factor Rev* 2008; 19:219-230.
5. Choung CM, Patel N, Lin J, Jung H, Widelitz RB. Sonic hedgehog signaling pathway in vertebrate epithelial appendage morphogenesis: perspectives in development and evolution. *Cell Mol Life Sci* 2000; 57: 1672-81.
6. Beyer TA, Werner S, Dickson C, Grose R. Fibroblast growth factor 22 and its potential role during skin development and repair. *Exp Cell Res* 2003; 287:228-36.
7. Fazel AR, Thompson RP, Sumia H, Shulte BA. lectin histochemistry of the embryonic heart expression of terminal and penultimate galactose residues in developing rat and chicks. *Am J Anat* 1989; 184:85-94.
8. Muramatsu T. Essential Roles of Carbohydrate Signals in Development, Immune Response and Tissue Functions, as Revealed by Gene Targeting. *J Biochem* 2000; 127:171-6.
9. Pelli AA, Cinelli LP, Mourao PAS, Brito-Gitirana LD. Glycosaminoglycans and glycoconjugates in the adult anuran integument (Lithobates catesbeianus). *Micron* 2010; 1478:1-6.
10. Zagris N. Extracellular matrix in development of the early embryo. *Micron* 2001; 32:427-438.
11. Kiernan JA. Histological and histochemical methods theory and practice. 3rd ed. Butterwort Heinemann Oxford 1990, p 225.
12. Bancrof JD. Stevens A. Theory and practice of histological techniques. 5th ed. Churchill Livingston London 2003, pp 20-100,513.
13. Fukuo N, Bradley AS, Samuel S. Lectin cytochemical evaluation of somatosensory neurons and their peripheral and central processes in Rat and man. *Cell Tissue Res* 1986; 245: 579-89.
14. Gheri G, Gheri Bryk S, Sgambati E. Use of horseradish peroxidase conjugated lectins for detection of glycoconjugate changes in developing lingual epithelium of the chick embryo. *Develop Growth and Differ* 1991; 33(4):371-7.
15. Armengol C, Carretero A, Nacher V, Ruberte J, Navarro M. Carbohydrate characterization of quail primordial germ cells during migration and gonadal differentiation. *J Anat* 2007; 210(1): 98-111.
16. Narita A, Kumakura M, Shibabe S, Ito M, Shigematsu A, Nanbo T. Histological and absorptional changes of skin with development of rat fetuses. *J Reprod Dev* 1998; 44: 205-8.
17. Fluhr JW, Behne MJ, Brown BE, Moskowitz DG, Selden C, Man-Qiang M, et al. Stratum Corneum Acidification in Neonatal Skin: Secretory Phospholipase A₂ and the Sodium/Hydrogen Antiporter-1 Acidify Neonatal Rat Stratum Corneum. *J Invest Dermatol* 2004; 122: 320-9.
18. Doering T, Brade H, Sandhoff K. Sphingolipid metabolism during epidermal barrier development in mice. *J Lipid Res* 2002; 43:1727-33.
19. Wu AM, Lisowska E, Duk M, Yang Z. Lectins as tools in glycoconjugate research. *Glycoconj J* 2009; 26: 899-913.
20. Takata K, Hirano H. Changes in soybean agglutinin (SBA) and peanut agglutinin (PNA) binding pattern in the epidermis of the developing chick embryo.

Develop. Growth and Differ 1983; 25(3): 299-305.
21. **Faraldi C, Falugi C, Fasulo S.** Glycoconjugate

expression changes during *Rana dalmatina* early development. Eur J Histochem 1996; 40(1): 67-74.